



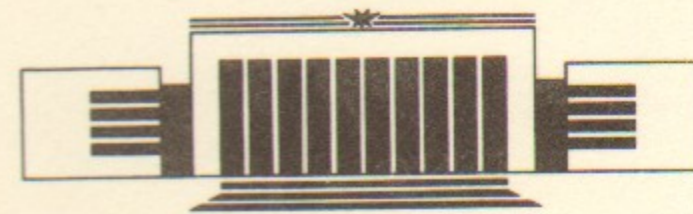
ИНСТИТУТ ЯДЕРНОЙ ФИЗИКИ СО АН СССР

27

В.Н. Байер, В.М. Катков, В.М. Страховенко

**КВАЗИКЛАССИЧЕСКАЯ ТЕОРИЯ
ЭЛЕКТРОМАГНИТНЫХ ПРОЦЕССОВ В ПОЛЕ
ПЛОСКОЙ ВОЛНЫ И ПОСТОЯННОМ ПОЛЕ**

ПРЕПРИНТ 91-32



НОВОСИБИРСК

Квазиклассическая теория
электромагнитных процессов в поле
плоской волны и постоянном поле

В.Н. Байер, В.М. Катков, В.М. Страховенко

Институт ядерной физики
630090, Новосибирск 90, СССР

АННОТАЦИЯ

В рамках квазиклассической теории получены общие выражения для вероятности излучения релятивистской частицы движущейся во внешнем поле, являющемся суперпозицией локально постоянного поля и монохроматической плоской волны распространяющейся в произвольном направлении. В качестве приложений рассмотрены комптон-эффект и двухфотонное рождение пары частиц во внешнем поле.

Quasiclassical Theory
of Electromagnetic Processes in Field
of a Plane Wave and Constant Field

V. N. Baier, V. M. Katkov, V. M. Strakhovenko

*Institute of Nuclear Physics
630090, Novosibirsk, USSR*

ABSTRACT

In the frame of quasiclassical theory the general expressions are obtained for the radiation probability of relativistic particles moving in an external field which is superposition of a locally constant field and a monochromatic plane wave propagating along an arbitrary direction. As an application we considered the processes of Compton scattering and two photon pair creation in the external field.

© Институт ядерной физики СО АН СССР

1. ВВЕДЕНИЕ

Процессы в электромагнитном поле сложной конфигурации представляют значительный интерес. Одним из полей такого рода является суперпозиция поля плоской волны и постоянного поля. Рассмотрение радиационных процессов основывается на использовании решений (точных или квазиклассических) волновых уравнений в таком поле. Следует иметь в виду, что точные решения известны только в случае, когда плоская волна распространяется вдоль магнитного поля. В этом случае решения уравнений Клейна-Гордона и Дирака были получены еще Редмондом [1], который провел также анализ классического движения частицы. Функции Грина скалярной и спинорной частиц в таком поле были найдены Баталиным и Фрадкиным [2] с помощью метода функционального интегрирования. Массовый оператор в поле редмондовской конфигурации был получен Мильштейном и одним из авторов для скалярных [3] и спинорных [4] частиц с помощью операторного подхода. Соответствующие волновые функции использовались здесь для вычисления матричных элементов массового оператора, которые содержат в себе обширную физическую информацию (вероятности излучения, сдвиги уровней). В частности, были рассмотрены радиационные эффекты вблизи циклотронного резонанса, рассеяние фотона на электроне (компон-эффект) в магнитном поле. Обзор ряда работ в этой области содержится также в [5].

Настоящая работа базируется на квазиклассической теории излучения и рождения пар развитой двумя из авторов [6]. В

области квазиклассичности движения нет необходимости использовать решения уравнений Дирака (Клейна-Гордона) и достаточно знать только классические траектории частиц. Мы будем рассматривать существенно релятивистский случай $\gamma = \varepsilon/m \gg 1$, когда скорость частицы мало меняется за время формирования процесса. В ковариантной записи это условие имеет вид:

$$|(F_{\mu\nu} p^\nu)^2/m^2| \gg |F_{\mu\nu} F^{\mu\nu}|, |F_{\mu\nu}^* F^{\mu\nu}|$$

где $F^{\mu\nu}$ — тензор электромагнитного поля, в котором движется частица ($F^{\mu\nu} = F_{ex}^{\mu\nu} + f^{\mu\nu}$, $F_{ex}^{\mu\nu}$ — внешнее поле, $f^{\mu\nu}$ — поле волны), $F_{\mu\nu}^* = \frac{1}{2} \varepsilon_{\mu\nu\alpha\beta} F^{\alpha\beta}$, p^ν — импульс частицы. Если дополнительно потребовать, чтобы изменение внешнего поля F_{ex} на длине формирования было мало, то задача сводится к процессам в однородном внешнем поле F_{ex} и поле распространяющейся в произвольном направлении плоской волны f , которую для определенности возьмем монохроматической. Отметим, что полученные в настоящей работе выражения являются точными, когда $F^2 = F^*F = 0$. В этом случае электромагнитное поле имеет вид немонохроматической плоской волны, в которой задача решается точно. В разделе 2 получены общие формулы для вероятности излучения в единицу времени, в разделе 3 изучен комптон-эффект во внешнем поле, а в разделе 4 рассмотрено рождение электрон-позитронной пары. Найденные выражения имеют вид «мгновенных» характеристик процессов и при определении их интегральных свойств должны быть усреднены по траектории частицы или с соответствующей функцией распределения.

2. ОБЩИЕ ВЫРАЖЕНИЯ

Использование квазиклассической теории излучения и рождения пар [6] позволяет провести вычисления наиболее адекватным образом. Вероятность излучения в этой теории имеет вид ($\hbar = c = 1$, $e^2 = \alpha = 1/137$)

$$d\omega_\gamma = \frac{\alpha}{(2\pi)^2} \frac{d^3k}{\omega} |M|^2, \quad M = \int dt R(t) e^{ik'x(t)}, \quad (1)$$

где $k' = \varepsilon k/\varepsilon'$, $k = k(\omega, \vec{k})$ — 4-импульс фотона, $\varepsilon(m)$ — энергия (масса) частицы, $\varepsilon' = \varepsilon - \omega$, $x(t) = (t, \vec{r}(t))$, t — время, $\vec{r}(t)$ — коор-

дината на классической траектории частицы. Для спинорных частиц с релятивистской точностью ($1/\gamma = m/\varepsilon \ll 1$)

$$R = \varphi_f^+ (A + i\vec{\sigma}\vec{B}) \varphi_i, \quad A = \frac{1}{2} \left(1 + \frac{\varepsilon}{\varepsilon'}\right) \vec{e}^* \vec{a},$$

$$\vec{B} = \frac{\omega}{2\varepsilon'} \vec{e}^* \times \vec{b}, \quad \vec{a} = \vec{v} - \vec{k}/\omega, \quad \vec{b} = \frac{\vec{k}}{\omega\gamma} - \vec{a}, \quad (2)$$

где $\vec{v} = \vec{v}(t)$ — классическая скорость частицы, $\varphi_{(i)}$ — двухкомпонентный спинор описывающий поляризацию частицы, \vec{e} — вектор поляризации фотона.

После интегрирования по углам вылета фотона и суммирования по поляризациям конечных частиц выражения (1), (2) можно представить в виде удобном для вычислений, где все сокращения главных членов уже произведены (для $\zeta = 0$ см., например, работу [7]),

$$\begin{aligned} \frac{d\omega_\gamma}{d\omega} &= \frac{i\alpha}{8\pi\gamma^2} \iint \frac{dt d\tau}{\tau - i0} \left[4 + \left(\frac{\varepsilon}{\varepsilon'} + \frac{\varepsilon'}{\varepsilon} \right) (\bar{\Delta}_1 - \bar{\Delta}_2)^2 + \frac{i\omega}{\varepsilon} \zeta \bar{N} \right] \times \\ &\times \exp \left(- \frac{i\tau}{l_\omega} \left\{ 1 + \frac{1}{\tau} \int_{t_1}^{t_2} \bar{\Delta}^2(t') dt' \right\} \right), \\ \bar{\Delta}(t') &= \frac{1}{m} (\vec{p}(t') - \vec{\pi}), \quad \vec{\pi} = \frac{1}{\tau} \int_{t_1}^{t_2} \vec{p}(t) dt, \quad l_\omega = \frac{2\varepsilon\varepsilon'}{m^2\omega}, \quad (3) \\ \bar{N} &= 2 \left(2 + \frac{\omega}{\varepsilon'} \right) \bar{\Delta}_2 \times \bar{\Delta}_1 + 2(\bar{\Delta}_1 - \bar{\Delta}_2) \times \vec{v}(t), \end{aligned}$$

где $t_{2,1} = t \pm \tau/2$, $\vec{p}(t) = \varepsilon\vec{v}(t)$ — импульс частицы. Очевидно, что величина $\bar{\Delta}(t)$ не меняется при замене $\vec{p}(t) \rightarrow \vec{p}(t) + \vec{p}_0$, где \vec{p}_0 не зависящий от времени импульс. Для того, чтобы продвинуться дальше, нам теперь необходимо найти явный вид импульса $\vec{p}(t)$ и вектора $\bar{\Delta}(t)$ в зависимости от времени в поле рассматриваемой конфигурации. Конкретные расчеты мы будем проводить в системе отсчета, в которой монохроматическая плоская волна с волновым вектором $q = q(q_0, \vec{q})$ распространяется в направлении $\vec{n} = \vec{q}/q_0$ навстречу электрону. При этом всегда можно найти релятивистскую систему отсчета ($\gamma \gg 1$), в которой выполняется условие $q_0 \ll \varepsilon$, что необходимо при рассмотрении плоской волны как классического объекта. Решая уравнения движения частицы в электро-

магнитном поле, с принятой точностью получаем

$$\begin{aligned} \vec{p}_\perp(t)/m &= \vec{\Omega}t + \vec{\xi}(t), \quad \vec{\xi}(t) = \vec{\xi}_2 \sin(vt + \varphi_0) + \vec{\xi}_1 \cos(vt + \varphi_0), \\ \vec{\Omega} &= \frac{e}{m} \vec{F}_\perp, \quad \vec{F}_\perp = \vec{E} - \vec{n}(\vec{n}\vec{E}) + \vec{H} \times \vec{n}, \quad v = 2q_0, \quad \vec{\xi}\vec{n} = 0 \end{aligned} \quad (4)$$

где \vec{E} и \vec{H} электрическое и магнитное поля, не зависящие от времени, $\vec{\xi}_{1,2}$ — ортогональные векторы, характеризующие интенсивность волны $\xi_0^2 = (\xi_1^2 + \xi_2^2)/2$ и ее поляризацию. Соответствующие параметры Стокса имеют вид

$$\lambda_3 = \frac{\xi_1^2 - \xi_2^2}{\xi_1^2 + \xi_2^2}, \quad \lambda_2 = (\vec{\xi}_1 \times \vec{\xi}_2) \vec{n} / \xi_0^2. \quad (5)$$

Вычисляя входящие в выражение для вероятности излучения (3) соответствующие комбинации, получаем

$$\begin{aligned} \bar{\Delta}_2 - \bar{\Delta}_1 &= \vec{\Omega}\tau + 2 \sin \frac{v\tau}{2} \vec{\eta}(t), \quad \vec{\eta}(t) = \vec{\xi}_2 \cos(vt + \varphi_0) - \vec{\xi}_1 \sin(vt + \varphi_0), \\ \int_{t_1}^{t_2} \Delta^2(t') dt' &= \Omega^2 \frac{\tau^3}{12} + \frac{4}{v^2} \vec{\Omega} \vec{\eta}(t) \left(\sin \frac{v\tau}{2} - \frac{v\tau}{2} \cos \frac{v\tau}{2} \right) + \\ &+ \xi_0^2 \left[\tau + \frac{2}{v^2\tau} (\cos v\tau - 1) + \frac{\lambda_3}{v} \cos 2(vt + \varphi_0) \left(\sin v\tau + \frac{2}{v\tau} (\cos v\tau - 1) \right) \right], \\ (\bar{\Delta}_2 - \bar{\Delta}_1)^2 &= \Omega^2 \tau^2 + 4 \vec{\Omega} \vec{\eta}(t) \tau \sin \frac{v\tau}{2} + 4 \xi_0^2 (1 - \lambda_3 \cos 2(vt + \varphi_0)) \sin^2 \frac{v\tau}{2}, \\ \bar{\Delta}_2 \times \bar{\Delta}_1 &= \left(\cos \frac{v\tau}{2} - \frac{2}{v\tau} \sin \frac{v\tau}{2} \right) \left[\tau \vec{\Omega} \times \vec{\xi}(t) - 2 \lambda_2 \vec{n} \xi_0^2 \sin \frac{v\tau}{2} \right]. \end{aligned} \quad (6)$$

Сделаем замены $vt + \varphi_0 = \varphi$, $\tau \rightarrow l_0 \tau$, $l_0 = \frac{2e}{m^2} = 2\gamma \tilde{\lambda}_c$ и учтем, что

$$\vec{\Omega} l_0 = \frac{2e \vec{F}_\perp \varepsilon}{m^3} = 2\vec{\chi}, \quad v l_0 = \frac{4q_0 e}{m^2} \simeq \frac{2qp}{m^2} \equiv s \quad (7)$$

В результате, получаем для вероятности излучения фотона в единицу времени следующее выражение

$$\frac{d^2 \omega_\gamma(t)}{dt dx} = \frac{dW_\gamma(t)}{dx} = \frac{i\alpha m^2}{2\pi\varepsilon} \int_{-\infty}^{\infty} \frac{d\tau}{\tau - i0} \left[1 + \right.$$

$$\left. + \left(\frac{\varepsilon'}{\varepsilon} + \frac{\varepsilon}{\varepsilon'} \right) m_0 + ix \vec{\zeta} \vec{m} \right] \exp[-i\omega\tau \Phi(\varphi, \tau)],$$

$$\begin{aligned} u = \omega/\varepsilon', \quad x = \omega/\varepsilon, \quad m_0 = \chi^2 \tau^2 + 2\vec{\chi} \vec{\eta}(\varphi) \tau \sin \frac{s\tau}{2} + \\ + \xi_0^2 (1 - \lambda_3 \cos 2\varphi) \sin^2 \frac{s\tau}{2}, \end{aligned} \quad (8)$$

$$\begin{aligned} \vec{m} = 2 \left(1 + \frac{u}{2} \right) \left[\vec{\chi} \times \vec{\xi}(\varphi) \left(\tau \cos \frac{s\tau}{2} - \frac{2}{s} \sin \frac{s\tau}{2} \right) + \frac{1}{2} \lambda_2 \xi_0^2 \vec{v} \times \right. \\ \left. \times \left(\sin s\tau + \frac{2}{s\tau} (\cos s\tau - 1) \right) \right] - \vec{\chi} \times \vec{v} \tau - \vec{\eta}(\varphi) \times \vec{v} \sin \frac{s\tau}{2}, \\ \Phi = \frac{1}{3} \chi^2 \tau^2 + \frac{8}{s^2 \tau} \vec{\chi} \vec{\eta}(\varphi) \left(\sin \frac{s\tau}{2} - \frac{s\tau}{2} \cos \frac{s\tau}{2} \right) + \xi_0^2 \left[1 + \right. \\ \left. + \frac{2}{s^2 \tau^2} (\cos s\tau - 1) + \frac{\lambda_3}{s\tau} \cos 2\varphi \left(\sin s\tau + \frac{2}{s\tau} (\cos s\tau - 1) \right) \right] + 1. \end{aligned}$$

В этой формуле величины $\vec{v}(t)$, $\vec{\chi}(t)$, $\vec{\xi}(t)$ определяются классической траекторией частицы. В случае когда период волны меньше или порядка времени формирования процесса, которое определяется характерными значениями переменной τ в интеграле (8), это выражение необходимо усреднить по фазе волны φ .

Представим выражение (8) в инвариантной форме. Для этого введем 4-вектора, характеризующие волну

$$\begin{aligned} a^\mu(\varphi) = a_2^\mu \sin \varphi + a_1^\mu \cos \varphi, \quad b^\mu(\varphi) = \frac{da^\mu(\varphi)}{d\varphi}, \quad \varphi = qx, \\ q^2 = qa_1 = qa_2 = a_1 a_2 = 0, \quad f^{\mu\nu} = q^\mu b^\nu - q^\nu b^\mu, \\ \xi_{1,2}^2 = -e^2 a_{1,2}^2 / m^2. \end{aligned} \quad (9)$$

Здесь $a^\mu(\varphi)$ — вектор-потенциал, $f^{\mu\nu}$ — тензор электромагнитного поля волны. Комбинации в (8) с релятивистской точностью имеют вид

$$\begin{aligned} \vec{\chi}^2 \simeq -\frac{e^2}{m^6} (F^{\mu\nu} p_\nu)^2, \quad \vec{\chi} \vec{\eta} \simeq -\frac{e^2}{m^4 (qp)} F^{\mu\nu} p_\nu f_{\mu\rho} p^\rho, \\ (\vec{\zeta} \vec{\chi} \vec{v}) \simeq \frac{e}{m^3} s^\mu F_{\mu\nu}^* p^\nu, \quad (\vec{\zeta} \vec{\eta} \vec{v}) \simeq \frac{e}{m(pq)} s^\mu f_{\mu\nu}^* p^\nu, \\ (\vec{\zeta} \vec{\chi} \vec{\xi}) \simeq \frac{e^2}{m^3} s^\mu F_{\mu\nu}^* a^\nu, \quad -\lambda_2 \xi_0^2 (\vec{\zeta} \vec{n}) = \frac{e^2}{m(pq)} \varepsilon_{\mu\nu\rho\sigma} s^\mu a^\nu a^\rho q^\sigma, \end{aligned} \quad (10)$$

где s^μ — 4-вектор спина, $F^{\mu\nu}$ — тензор постоянного электромагнитного поля, * — обозначены дуальные тензоры.

Проинтегрировав выражение (8) по $x = u/(1+u)$, получим полную вероятность излучения в единицу времени W_γ , которая посредством дисперсионного соотношения известным образом связана с поправкой к массе частицы [8]. Используя эту связь, получаем

$$\frac{\Delta m}{m} = \frac{\alpha}{2\pi} \int_0^1 dx \int_0^\infty \frac{d\tau}{\tau} \left[\left(1 + \left(\frac{\varepsilon}{\varepsilon'} + \frac{\varepsilon'}{\varepsilon} \right) m_0 + ix(\vec{\zeta} \vec{m}) \right) \times \right. \\ \left. \times \exp(-i\omega\tau\Phi(\tau)) - \exp(-i\omega\tau) \right]. \quad (11)$$

Отметим, что в рамках рассматриваемого нами приближения часть этого выражения, зависящая от спина электрона $\Delta m_\zeta(t) = \vec{\zeta}(t) \cdot \vec{M}(t)$, определяет радиационные поправки к уравнению движения спина

$$\frac{d\vec{\zeta}_{\text{rad}}}{dt} = 2\vec{M} \times \vec{\zeta} / \gamma.$$

В случае, когда плоская волна циркулярно поляризована ($\lambda_3 = 0$, $\lambda_2 = \pm 1$), выражения для $m_\mu(\varphi, \tau)$ и $\Phi(\varphi, \tau)$ приобретают вид:

$$m_0^{cr} = \chi^2 \tau^2 + 2\vec{\chi} \vec{\eta} \tau \sin \frac{s\tau}{2} + \xi_0^2 \sin^2 \frac{s\tau}{2}, \\ \vec{\zeta} \vec{m}^{cr} = 2 \left(1 + \frac{u}{2} \right) \lambda_2 (\vec{\zeta} \vec{v}) \left[(\vec{\chi} \vec{\eta}) \left(\tau \cos \frac{s\tau}{2} - \frac{2}{s} \sin \frac{s\tau}{2} \right) + \right. \\ \left. + \frac{\xi_0^2}{2} \left(\sin s\tau + \frac{2}{s\tau} (\cos s\tau - 1) \right) \right] - (\vec{\zeta} \vec{\chi} \vec{v}) \tau - (\vec{\zeta} \vec{\eta} \vec{v}) \sin \frac{s\tau}{2}, \quad (12) \\ \Phi^{cr} = \frac{1}{3} \chi^2 \tau^2 + \frac{8}{s^2 \tau} (\vec{\chi} \vec{\eta}) \left(\sin \frac{s\tau}{2} - \frac{s\tau}{2} \cos \frac{s\tau}{2} \right) + \\ + \xi_0^2 \left(1 + \frac{2}{s^2 \tau^2} (\cos s\tau - 1) \right) + 1.$$

Если положить интенсивность волны $\xi_0^2 = 0$, то формулы (8), (11) перейдут в выражение для вероятности излучения и поправки к массе в постоянном внешнем поле в квазиклассическом приближении [9]. В случае $\vec{\chi} = 0$ эти формулы совпадают с соответствующими выражениями в поле плоской монохроматической волны [10, 11].

Параметр ξ_0 характеризует изменение полем волны импульса частицы по сравнению с ее массой за время порядка периода колебания волны, и при больших значениях $\xi_0 \gg 1$ излучение формируется за время, много меньшее этого периода ($\tau \ll 1/s$). В этом случае в формулах (8), (11), (12) можно провести разложение по величине $s\tau$, и в результате получаем, что процесс определяется локальным значением напряженности поля с соответствующим значением параметра $\vec{\chi}_1$

$$\vec{\chi}_1(t) = \vec{\chi}(t) + \vec{\eta}(\varphi) \frac{s}{2}, \quad \vec{\chi}_1^2 = - \frac{e^2}{m^6} [(F^{\mu\nu} + f^{\mu\nu}) p_\nu]^2 \quad (13)$$

Такой же характер излучение носит в случае $\xi_0 \ll 1$, но при больших значениях параметра $\mu = \chi/s$ ($\mu \gg 1$). При $\mu \ll 1$ ($\xi_0^2 \ll 1$) переданный постоянным полем импульс за период колебания волны оказывается много меньше массы частицы ($\tau \sim \frac{1}{s}$, $\chi\tau \ll 1$) и по величине $\chi\tau$ необходимо провести соответствующие разложения. Удерживая главные члены этого разложения, получим поправки к вероятности процесса в поле плоской волны за счет влияния постоянного поля.

3. КОМПТОН-ЭФФЕКТ В ПОСТОЯННОМ ПОЛЕ

В случае $\xi_0 \ll 1$ в выражении (8) можно провести разложение экспоненциального фактора по параметру $\xi(\eta)$ и оставить окончательно члены $\propto \xi_0^2$. Тогда нулевые члены разложения по ξ_0 в формуле (8) будут давать вероятность излучения в постоянном поле $F_{\mu\nu}$, а поправки $\propto \xi_0^2$ описывают комптоновское рассеяние в этом поле. Рассмотрим более подробно последнее явление.

Учитывая связь напряженности электрического и магнитного полей в волне с плотностью ее энергии, выразим параметр ξ_0^2 через плотность фотонов и их частоту

$$\frac{E^2 + H^2}{8\pi} \simeq \frac{1}{4\pi} \left(\frac{m\xi_0}{e} \right)^2 = q_0 n_{ph} \\ \xi_0^2 = \frac{4\pi\alpha n_{ph}}{m^2 q_0} \simeq \frac{16\pi\alpha n_{ph} e}{m^4 s} \quad (14)$$

Учтем также, что член пропорциональный ξ_0^2 в вероятности излуче-

ния (8) $dW_\gamma = dW_\gamma^{ex} + \xi_0^2 dW_\gamma^{\xi}$ связан с сечением Комpton-эффекта следующим образом

$$\xi_0^2 dW_\gamma^{\xi} = 2n_{ph} d\sigma_c; \quad d\sigma_c = \frac{8\pi\alpha\varepsilon}{m^4 s} dW_\gamma^{\xi}. \quad (15)$$

В результате получаем следующее выражение для сечения комптоновского рассеяния в присутствии постоянного внешнего поля

$$\begin{aligned} \frac{d\sigma_c}{dx} = & \frac{4\alpha^2}{m^2 s i} \int_{-\infty}^{\infty} \frac{d\tau}{\tau - i0} e^{-i\rho(\tau)} \left\{ (1 + \beta\chi^2\tau^2) F + \right. \\ & + \frac{4i}{s^3} u\beta\chi^2 \Lambda_1 z g_2(z) + \frac{\beta}{2} g_3(z) + 2\left(1 + \frac{u}{2}\right) \lambda_2(\bar{\xi}\bar{v}) x \times \\ & \times \left[\frac{4u}{s^3} \chi^2 g_1(z) + \frac{i}{z} g_2(z) \right] - x(\bar{\xi}\bar{\chi}\bar{v}) \left[i\frac{z}{s} F - \right. \\ & \left. \left. - \frac{2u}{s^2} \Lambda_1 g_2(z) \right] + \frac{2u}{s^2} x(\bar{\xi}\bar{\chi}) \lambda_3 g_2(z) \sin 2\varphi_1 \right\}, \end{aligned} \quad (16)$$

где

$$\rho(\tau) = u\tau \left(1 + \chi^2 \frac{\tau^2}{3} \right), \quad \beta = \frac{\varepsilon}{\varepsilon'} + \frac{\varepsilon'}{\varepsilon}, \quad z = s\tau,$$

$$F = \frac{8u^2}{s^4} \chi^2 \Lambda_1 g_1(z) + \frac{2iu}{sz} g_3(z) + iu \frac{z}{s},$$

$$g_1(z) = 1 + \frac{z^2}{4} + \left(\frac{z^2}{4} - 1 \right) \cos z - z \sin z, \quad (17)$$

$$g_2(z) = 1 - \cos z - \frac{z \sin z}{2}, \quad g_3(z) = \cos z - 1, \quad \Lambda_1 = 1 + \lambda_3 \cos 2\varphi_1,$$

φ_1 — угол между векторами $\bar{\chi}$ и $\bar{\xi}_1$. Положив в (16), (17) $\lambda_{2,3} = 0$, получим сечение комптон-эффекта для неполяризованных начальных фотонов. Отметим, что подынтегральное выражение в (16) не имеет особенностей при $\tau \rightarrow 0$, поэтому интеграл имеет обычный смысл. Однако при получении асимптотик в случае слабого поля удобно пользоваться контурным представлением (16).

Влияние внешнего поля на комптоновское рассеяние в целом определяется величиной параметра $\mu = \chi/s$. При $\mu \ll 1$ внешнее поле не успевает существенно изменить движение заряженных частиц за характерные времена процесса $T \sim 1/q_0$

$$\frac{\Delta p_\perp}{m} \sim \frac{eF_\perp T}{m} \sim \frac{eF_\perp}{mq_0} \sim \frac{\chi}{s} \equiv \mu \ll 1. \quad (18)$$

Надо сказать, что даже при выполнении условия $\mu \ll 1$ в области максимума спектрального распределения при $u \simeq s$ влияние внешнего поля становится существенным при достаточной малости величины $\delta = 1 - u/s$. Это связано с тем, что значение $u = s$ соответствует комптоновскому рассеянию назад, а фотон с частотой ω близкой к граничному значению $\varepsilon s / (s + 1)$ формируется за время $T/\delta \sim 1/(q_0\delta)$ ($\tau \sim 1/(s\delta)$). Тогда в фазе $\rho(\tau)$ (17) зависящим от поля членом можно пренебречь только при условии

$$u\chi^2\tau^3 \sim \frac{\chi^2}{s^2\delta^3} = \frac{\mu^2}{\delta^3} \ll 1. \quad (19)$$

Таким образом параметром влияния внешнего поля на спектральное распределение комптоновского рассеяния вблизи границы частот является величина $\mu\delta^{-3/2}$. Если параметр μ мал ($\mu \ll 1$), но при этом также мала величина δ , так что $\delta \lesssim \mu^{2/3}$, главный член в (16) существенно упрощается

$$\frac{d\sigma_c}{dx} = \frac{\alpha^2}{im^2 s} \int_{-\infty}^{\infty} \frac{d\tau}{\tau - i0} e^{i(z - \rho(\tau))} [\beta - x(2 + u)\lambda_2(\bar{\xi}\bar{v})]. \quad (20)$$

Используя табличные интегралы (см. [12], стр. 142), получаем

$$\frac{1}{2\pi i} \int_{-\infty}^{\infty} \frac{d\tau}{\tau - i0} e^{i(z - \rho(\tau))} = \begin{cases} \frac{1}{\sqrt{3}\pi} \int_a^\infty K_{1/3}(y) dy, & u \geq s \\ \frac{1}{3} \int_a^\infty (J_{1/3}(y) + J_{-1/3}(y)) dy, & u \leq s \end{cases}$$

$$a = \frac{2u}{3\chi} \left| \frac{s}{u} - 1 \right|^{3/2} \simeq \frac{2s}{3\chi} \left| 1 - \frac{u}{s} \right|^{3/2} \quad (21)$$

Из последнего выражения видно, что присутствие поля «размывает» границу частот в области $u > s$, заменяя ее экспоненциальным падением при $a \gg 1$. При $u = s$ высота спектральной кривой составляет треть от максимального значения в отсутствии поля и не зависит от величины внешнего поля. В области $u < s$ при $a \gg 1$

влияние поля на комптоновское рассеяние мало, что находится в согласии с качественным анализом, приведенным выше.

Поскольку

$$\int_0^{\infty} dy \int_{2y^{3/2}/3\mu}^{\infty} dz \left[\frac{\sqrt{3}}{\pi} K_{1/3}(z) - J_{1/3}(z) - J_{-1/3}(z) \right] = 0$$

внешнее поле в рассматриваемой области частот в основном только перераспределяет спектральную вероятность процесса, сохраняя ее полную величину. Это позволяет при вычислении поправок к полному сечению в формуле (16) проводить разложение по $\chi\tau$ при всех значениях x . Оставляя первые члены разложения по μ и $\chi\tau$, интеграл по τ возьмем при помощи теории вычетов, после чего интеграл по x берется элементарно. В результате получаем для сечения комптон-эффекта с учетом полевых поправок следующее выражение

$$\begin{aligned} \sigma_c = & \frac{\pi r_e^2}{s} \left\{ 2 \left(1 - \frac{4}{s} - \frac{8}{s^2} \right) L + 1 + \frac{16}{s} - \frac{1}{z^2} + \right. \\ & + \lambda_2 (\bar{\xi} \bar{v}) \left[2 \left(1 + \frac{2}{s} \right) L - 5 + \frac{2}{z} - \frac{1}{z^2} \right] + \\ & + 4\mu^2 \left[\frac{16}{s^2} (L-s) - 2 + \frac{59}{3z} - \frac{59}{3z^2} + \frac{13}{z^3} - \right. \\ & - \frac{1}{z^4} - \frac{2}{z^5} + 2\lambda_3 \cos(2\varphi_1) \left(\frac{8}{s^2} (L-s) - 2 + \frac{11}{z} - \frac{11}{z^2} + \right. \\ & + \frac{9}{z^3} - \frac{3}{z^4} \left. \right) + \lambda_2 (\bar{\xi} \bar{v}) \left(\frac{4}{s} (L-s) + 4 - \frac{7}{3z} - \right. \\ & - \frac{19}{3z^2} + \frac{11}{3z^3} + \frac{3}{z^4} - \frac{2}{z^5} \left. \right) \left. \right] + 4(\bar{\xi} \bar{\chi} \bar{v}) \left[\frac{1}{z^2} - \frac{1}{z^3} \right] - \\ & - 8\lambda_3 [(\bar{\xi} \bar{\chi} \bar{v}) \cos(2\varphi_1) + (\bar{\xi} \bar{\chi}) \sin(2\varphi_1)] \times \\ & \times \left(\frac{1}{s^2} (L-s) + \frac{1}{z} - \frac{1}{z^2} + \frac{1}{2z^3} \right) \left. \right\} \end{aligned} \quad (22)$$

где $z=1+s$, $L=\ln(1+s)$, λ_3 — степень линейной поляризации, λ_2 — степень циркулярной поляризации начального фотона, $\bar{\xi}$ — поляризация начального электрона. При $\bar{\chi}=0$ выражение (22) переходит в сечение поляризованного комптон-эффекта (см., например, [10, 11]). Поправки к формуле Клейна — Нишины для неполяризо-

ванных фотонов были получены в работе [13] и согласуются с формулой (22), если в ней положить $\lambda_2=\lambda_3=0$.

В другом предельном случае, когда длина формирования фотона в постоянном поле $l_c = \frac{m}{eF_{\perp}} \left(1 + \frac{\chi}{u} \right)^{1/3}$ много меньше длины волны $\lambda = 1/q_0$, поле волны можно считать постоянным на этой длине. Это соответствует разложению по степеням $s\tau$ в формулах (8), (12)

$$s\tau \sim \frac{l_c}{\lambda} = \frac{mq_0}{eF_{\perp}} \left(1 + \frac{\chi}{u} \right)^{1/3} = \frac{s}{\chi} \left(1 + \frac{\chi}{u} \right)^{1/3} \ll 1. \quad (23)$$

При этом вероятность процесса определяется формулами магнитотормозного излучения в суммарном поле (13). В случае неполяризованных электронов эта вероятность имеет вид

$$\begin{aligned} \frac{dW_{\gamma}}{dx} = & \frac{\alpha m^2}{\pi e \sqrt{3}} \left(\beta K_{2/3}(z_1) - \int_{z_1}^{\infty} K_{1/3}(y) dy \right) \\ \beta = & \frac{\varepsilon'}{\varepsilon} + \frac{\varepsilon}{\varepsilon'}, \quad z_1 = \frac{2u}{3\chi_1}, \quad \bar{\chi}_1 = \bar{\chi} + \bar{\xi}(\varphi) \frac{s}{2}. \end{aligned} \quad (24)$$

Условием применимости выражения (24), в соответствии с формулой (23), является большая величина параметра $\mu_1 = \frac{\chi_1}{s} (\mu + \xi_0) \gg 1$. Если интенсивность волны при этом достаточно мала ($\xi_0 \ll \mu$), то в формуле (24) можно провести разложение по полю волны и в соответствии с формулами (14), (15) перейти к сечению комптоновского процесса. В результате получаем, например, для неполяризованного комптон-эффекта следующее выражение

$$\begin{aligned} \frac{d\sigma_c}{dx} = & \frac{r_e^2}{2\sqrt{3} \mu^2 s} \left\{ \left[(\beta-1)z^2 + \frac{4}{9}\beta \right] K_{2/3}(z) + \right. \\ & \left. + \frac{2}{3} z K_{1/3}(z) \right\}, \quad z = \frac{2u}{3\chi}. \end{aligned} \quad (25)$$

При выводе формулы (25) мы использовали рекуррентные соотношения для бесселевых функций, с помощью которых полное сечение комптоновского рассеяния можно представить в виде

$$\sigma_c = \frac{r_e^2}{6\sqrt{3}\mu\chi} \int_0^\infty \left(\frac{4}{9} + z^2\right) \frac{5u^2 + 7u + 5}{(1+u)^3} K_{2/3}(z) du. \quad (26)$$

В случае $\chi \ll 1$ в интеграл (26) вклад дают $u \sim \chi \ll 1$, а само сечение имеет вид

$$\sigma_c = \frac{5\pi}{4\sqrt{3}} \frac{r_e^2}{\mu}; \quad \chi \ll 1, \quad \mu \gg 1. \quad (27)$$

При $\chi \gg 1$ вклад дают $u \sim 1$ и можно воспользоваться асимптотиками бесселевых функций при малых значениях аргумента ($z \ll 1$). В этом случае

$$\sigma_c = \frac{28}{81} \frac{\Gamma(2/3)}{3^{1/3}} \left(\frac{s}{\chi^{2/3}}\right)^2 \frac{\pi r_e^2}{s}, \quad \chi \gg 1. \quad (28)$$

Из формулы (28) видно, что в случае $\chi \gg 1$, $s \gg 1$ параметром разложения является величина $s/\chi^{2/3}$, что находится в соответствии с формулой (23).

4. РОЖДЕНИЕ ЭЛЕКТРОН-ПОЗИТРОННОЙ ПАРЫ ФОТОНОМ

Спектральная вероятность рождения пары получается из вероятности излучения при помощи следующих замен $\varepsilon \rightarrow -\varepsilon$, $\omega \rightarrow -\omega$, $\zeta \rightarrow -\zeta$, $\omega^2 d\omega \rightarrow -\varepsilon^2 d\varepsilon$ (см., например, [9, 11]). При этом $u \rightarrow -(1-x)^{-1}$

$$\mu = \chi/s \rightarrow \kappa/(4\Lambda), \quad \kappa^2 = -\frac{e^2}{m^6} (F^{\mu\nu} k_\nu)^2,$$

$$u/s \rightarrow (4x(1-x)\Lambda)^{-1} = \text{ch}^2 y / \Lambda,$$

$$x = \varepsilon/\omega = (1 + \text{th} y)/2, \quad \Lambda = qk/(2m^2).$$

В соответствии с анализом, проведенным выше, при $\kappa \ll \Lambda$ поле существенно влияет на процесс рождения пары двумя фотонами только в припороговой области, когда $\text{ch}^2 y \simeq \Lambda$. В этом случае сечение двухфотонного процесса имеет вид

$$\frac{d\sigma_{\gamma\gamma}}{dy} = \frac{\pi r_e^2}{\Lambda} \left[1 - \frac{1}{2\text{ch}^2 y} + \frac{1}{\Lambda} \left(1 - \frac{\text{ch}^2 y}{\Lambda} \right) \right] \left[\theta(\Lambda - \text{ch}^2 y) \times \right.$$

$$\times \left(1 - \frac{1}{3} \int_b^\infty dx (J_{1/3}(x) + J_{-1/3}(x)) \right) +$$

$$+ \frac{\theta(\text{ch}^2 y - \Lambda)}{\pi\sqrt{3}} \int_b^\infty K_{1/3}(x) dx \Big], \quad b = \frac{8\text{ch}^2 y}{3\kappa} \left| \frac{\Lambda}{\text{ch}^2 y} - 1 \right|^{3/2},$$

где $\theta(x) = 1$, если $x > 0$; и $\theta(x) = 0$, если $x < 0$. Рассмотрим ситуацию, когда $\Lambda < 1$, т. е. вне кинематической области рождения пары в отсутствие поля и при экспоненциальном подавлении однофотонного процесса в постоянном поле ($\kappa \ll 1$). Используя формулы (20), (21), (29), получаем для сечения двухфотонного процесса следующее выражение

$$\frac{d\sigma_{\gamma\gamma}}{dy} \simeq \frac{r_e^2}{2\sqrt{3}} \int_{b_1}^\infty K_{1/3}(z) dz;$$

$$b_1 = \frac{8}{3\kappa} (\Delta + y^2)^{3/2}, \quad \Delta = 1 - \Lambda \ll 1, \quad y \ll 1. \quad (30)$$

Интегрируя в (30) по частям получим полное сечение при $\Lambda < 1$

$$\sigma_{\gamma\gamma} = r_e^2 \left(\frac{\Delta}{3}\right)^{1/2} \int_{z_0}^\infty \left[\left(\frac{z}{z_0}\right)^{2/3} - 1 \right]^{1/2} K_{1/3}(z) dz$$

$$z_0 = (8\Delta^{3/2})/(3\kappa). \quad (31)$$

В предельных случаях $z_0 \gg 1$ и $z_0 \ll 1$ соответственно имеем

$$\sigma_{\gamma\gamma} \simeq \frac{\pi r_e^2}{6} \frac{\Delta^{1/2}}{z_0^{5/6}} e^{-z_0}, \quad z_0 \gg 1$$

$$\sigma_{\gamma\gamma} \simeq \frac{r_e^2}{4} (6\kappa)^{1/3} \sqrt{\frac{\pi}{3}} \Gamma\left(\frac{5}{6}\right). \quad (32)$$

Как следует из формул (31), (32) величина $\sigma_{\gamma\gamma}/\kappa^{1/3}$ вблизи порога ($\Delta \ll 1$) имеет скейлинговую форму, зависящую только от z_0 , т. е. от определенной комбинации Δ и κ . График этой функции приведен на рис. 1. В том случае, когда канал двухфотонного процесса достаточно хорошо открыт $\Lambda - 1 \gtrsim 1$, поправки к полному сечению малы по параметру $(\kappa/\Lambda)^2$.

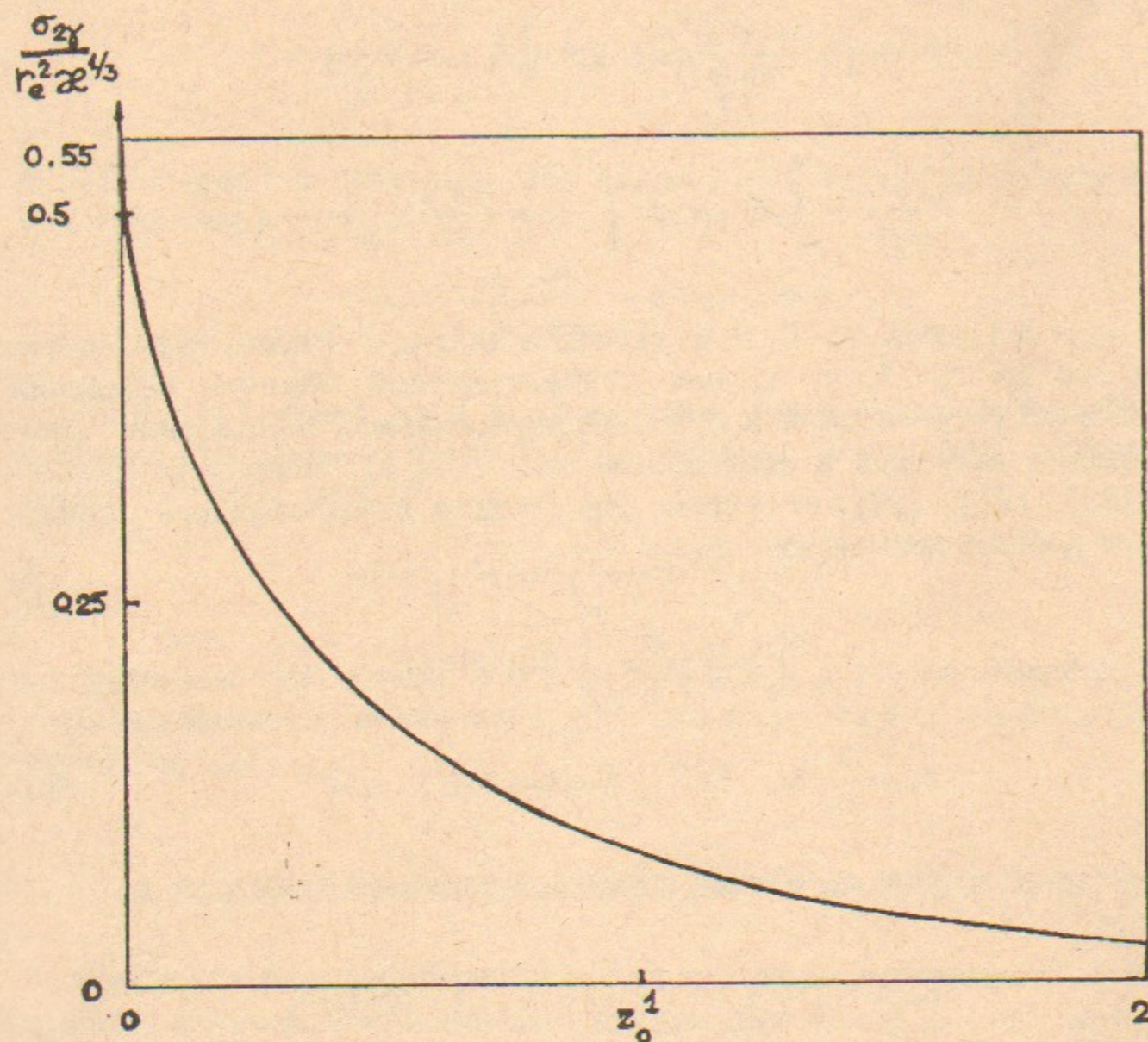


Рис. 1.

В другом предельном случае $\kappa \gg \Lambda$ дифференциальное сечение двухфотонного рождения пары можно получить из формулы (25) при помощи указанных выше замен. Полное сечение в этом случае можно представить в виде

$$\sigma_{\gamma\gamma} = \frac{2r_e^2\Lambda}{3\sqrt{3}\kappa^2} \int_0^1 \frac{9-v^2}{1-v^2} \left(\frac{4}{9} + \lambda^2 \right) K_{2/3}(\lambda) dv, \quad \lambda = (3\kappa(1-v^2)/8)^{-1}. \quad (33)$$

При $\kappa \gg 1$ в интеграле по v можно воспользоваться асимптотикой $K_{2/3}(\lambda)$ при малых значениях аргумента λ . В результате получаем

$$\sigma_{\gamma\gamma} \simeq \frac{20}{63} \left(\frac{2}{3} \right)^{1/3} \frac{\Gamma(5/6)}{\Gamma(7/6)} \frac{\Lambda}{\kappa^{4/3}} \pi r_e^2. \quad (34)$$

ЗАКЛЮЧЕНИЕ

Полученные выше результаты основываются на двух существенных предположениях — релятивистском характере поперечного движения частицы и однородности поля F_{ex} на длине формирования рассматриваемых процессов. В указанных рамках найденные выражения зависят от локальных значений координаты, скорости и спина частицы, что позволяет включить радиационные эффекты в уравнения движения. Это дает возможность, в частности, определить характеристики излучения частицы за все время ее движения в поле.

Авторы благодарны А.И. Мильштейну за ценные обсуждения.

ЛИТЕРАТУРА

1. Redmond P. // Jour. Math. Phys., 1965, v.6, p.1163.
2. Баталин И.А., Фрадкин Е.С. // ТМФ, 1970, т.5, с.190.
3. Baier V.N. and Milstein A.I. // Jour. Phys. 1978, v.A11, p.297.
4. Байер В.Н., Мильштейн А.И. // ЖЭТФ, 1978, т.75, с.390.
5. Тернов И.М., Халилов В.Р., Родионов В.М. Взаимодействие заряженных частиц с сильным электромагнитным полем. М.: Издательство Московского университета, 1982.
6. Байер В.Н., Катков В.М. // ЖЭТФ, 1967, т.53, с.1478; 1968, т.55, с.1542.
7. Байер В.Н., Катков В.М., Страховенко В.М. // ЖЭТФ, 1987, т.92, с.1228.
8. Ритус В.И. Сб. Проблемы теоретической физики. М.: Наука, 1972, с.306.
9. Байер В.Н., Катков В.М., Фадин В.С. Излучение релятивистских электронов. М.: Атомиздат, 1973.
10. Ритус В.И. // Квантовая электродинамика явлений в интенсивном поле. Труды ФИАН. — 1979. — т.111. — с.5.
11. Байер В.Н., Катков В.М., Страховенко В.М. Электромагнитные процессы при высокой энергии в ориентированных монокристаллах. Новосибирск: Наука, 1989, с.355.
12. Градштейн И.С., Рыжик И.М. Таблицы интегралов сумм, рядов и произведений. М.: Наука, 1963.
13. Жуковский В.Ч., Никитина Н.С. // ЖЭТФ, 1973, т.64, с.1169.

В.Н. Байер, В.М. Катков, В.М. Страховенко

**Квазиклассическая теория
электромагнитных процессов в поле
плоской волны и постоянном поле**

Ответственный за выпуск С.Г.Попов

Работа поступила 2 апреля 1991 г.

Подписано в печать 8.04 1991 г.

Формат бумаги 60×90 1/16 Объем 1,5 печ.л., 1,2 уч.-изд.л.

Тираж 200 экз. Бесплатно. Заказ № 32.

*Набрано в автоматизированной системе на базе фото-
наборного автомата ФА1000 и ЭВМ «Электроника» и
отпечатано на ротапринтере Института ядерной физики
СО АН СССР,
Новосибирск, 630090, пр. академика Лаврентьева, 11.*